

# مدل‌سازی جریان دانه‌ای در سیلو به روش نیمه ضمنی ذرات متحرک با تراکم ضعیف (WCMPs) با مدل رئولوژیکی هرشل بالکی نمایی

احسان جعفری ندوشن<sup>\*</sup><sup>۱</sup>

۱ استادیار، گروه مهندسی عمران، پردیس بیجار، دانشگاه کردستان، سنترج، ایران.

ehsan.jafai@uok.ac.ir

دریافت: ۱۴۰۱/۰۸/۱۸ پذیرش: ۱۴۰۱/۱۲/۱۰

## چکیده

سیلوها در بسیاری از فرآیندهای صنعتی و مهندسی به طور گسترده مورد استفاده قرار می‌گیرند، بنابراین تخلیه مواد دانه‌ای و غلات از سیلوها به عنوان یکی از مهم‌ترین مسائل مورد توجه قرار گرفته است. با توجه به هزینه بالای مطالعات آزمایشگاهی بر روی مواد و شرایط مختلف، روش‌های محاسباتی به عنوان یک رویکرد جایگزین با هزینه بسیار کمتر مورد استفاده قرار می‌گیرند. به دلیل توانایی روش‌های لاگرانژی برای مدل‌سازی تغییر شکل‌ها و ناپیوستگی‌های بزرگ، در این مطالعه یک مدل لاگرانژی بدون شبکه بر اساس یک فرمول MPS با تراکم ضعیف برای شبیه‌سازی تخلیه سیلو از مواد دانه‌ای توسعه و ارزیابی شده است. در این مطالعه ماده دانه‌ای به عنوان یک سیال ویسکو-پلاستیک غیرنیوتی در نظر گرفته می‌شود و یک مدل رئولوژیکی هرشل-بالکی (H-B) تنظیم شده نمایی برای مدل‌سازی رفتار دانه‌های استفاده شده است. قابلیت روش عددی توسعه‌یافته برای تخلیه مواد دانه‌ای از سیلوها ارزیابی شده است و با نتایج آزمایشگاهی و روش DEM مقایسه شده است. مقایسه نتایج پروفیل سطح و پروفیل سرعت روش عددی توسعه‌یافته برای تخلیه دانه‌ها از سیلو با اندازه‌گیری‌های تجربی موجود و روش DEM، قابلیت‌های مدل پیشنهادی را برای پیش‌بینی دقیق پروفیل‌های سطح و سرعت در این مسئله نمونه را نشان می‌دهد.

**واژگان کلیدی:** روش نیمه ضمنی ذرات متحرک، مدل هرشل-بالکی نمایی، مواد دانه‌ای، سیلو

## ۱- مقدمه

به این موضوع داده شده را توجیه می‌کند. مدیانا و همکاران (۲۰۱۴) تأثیر ابعاد و هندسه روزنہ بر سرعت جریان مواد دانه‌ای مورد مطالعه قرار دادند و رابطه بین سرعت جریان در مقابل اندازه دانه و قطر روزنہ بدست آوردند [۱]. لتوریا و همکاران (۲۰۱۴) خواص جریان چندین ماده دانه‌ای را با سیلوها به طور گسترده در کاربردهای ژئوتکنیکی و کشاورزی استفاده می‌شوند، به همین دلیل درک کامل دینامیک تخلیه و شبیه‌سازی مواد دانه‌ای بسیار مهم است. به علاوه، تنوع رفتارهایی که در یک سیلو وجود دارد، علاقه علمی زیادی که

آمد [11]. گوتو و ساکایی (۲۰۰۶) یک مدل چند فازی MPS را برای شبیه‌سازی مسائل با فازهای مایع و گاز یا مایع و جامد انتقال رسوب و اجسام شناور توسعه دادند [12]. عطایی آشتینیانی و فرهادی (۲۰۰۶) توابع کرنل مختلف را مقایسه نموده و رابطه‌ای برای افزایش پایداری مدل MPS ارائه دادند [13]. شبیاتا و کوشیزوکا (۲۰۰۷) مدل MPS سه بعدی را برای شبیه‌سازی برخورد موج به عرضه کشتی و پیش‌بینی فشار ناشی از برخورد به کار بردند [15]. خیر و گوتو (۲۰۰۹) روی بخش مومنتم مدل کار کردند و رابطه جدیدی برای تغییرات فشار پیشنهاد دادند. آنها همچنین برای غلبه بر نوسانات فشار، تراکم‌پذیری کم را برای مدل قائل شدند [15]. خیر و گوتو (۲۰۱۰) مدل مرتبه بالاتری برای پایدارسازی و ارتقای محاسبات فشار در مدل MPS معرفی کردند [16]. کوندو و کوشیزوکا (۲۰۱۱) به منظور غلبه بر نوسانات فشار، رابطه جدیدی برای جمله منبع در معادله پواسون فشار پیشنهاد کردند [17]. شکیابی نیا و جین (۲۰۱۰) روش MPS با تراکم ضعیف<sup>۶</sup> (WCMPS) را برای مدل‌سازی مایعات تراکم‌نپذیر پیشنهاد کردند در این روش سیال به جای کاملاً غیر قابل تراکم، به صورت نسبتاً تراکم‌پذیر در نظر گرفته می‌شود و به جای حل معادله پواسن فشار به صورت ضمنی، از معادله حالت، که به صورت صریح حل می‌شود، استفاده می‌گردد. آنها نشان دادند که این روش نه تنها نوسانات MPS مصنوعی را بهبود می‌دهد، بلکه کمی کارایی مدل در مقایسه با MPS استاندارد (کاملاً تراکم‌پذیر) را افزایش می‌دهد [18]. شکیابی نیا و جین (۲۰۱۰) یک روش MPS با تراکم ضعیف (WCMPS) را برای شبیه‌سازی جریان‌های سطح آزاد دو بعدی با مرز باز توسعه دادند. آنها نشان دادند که این روش نه تنها نوسانات غیر فیزیکی روش MPS را کاهش می‌دهد، بلکه کارایی و دقت مدل را در مقایسه با روش MPS اصلی افزایش می‌دهد [19]. شکیابی نیا و جین (۲۰۱۲) یک روش MPS چند فازی را برای سیستم‌های چند ویسکوزیته چند دانسیته پیشنهاد کردند آنها با ترکیب مدل MPS چند فازی خود را روایط رئولوژیکی مختلف، کاربرد مدل خود را به

روش‌های مختلف بررسی کردن [2]. مانکوچ و همکاران (۲۰۰۹) به طور تجربی تأثیر نوسانات عمودی را بر بهبود جریان مواد و رفع گرفتگی سیلو مورد مطالعه قرار دادند [3]. جاندا و همکاران (۲۰۰۹) از ارتعاش نیز برای رفع انسداد استفاده کردند [4]. زوریگل و همکاران (۲۰۰۵) تأثیر ویژگی های مواد و شکل دانه‌ها را بر انسداد جریان سیلو بررسی کردند [5]. آخوندی زاده و خلیلی (۲۰۱۶) تأثیر ماده مرتبط بر انسداد سیلو را با ضربه بررسی کردند [6]. همچنین آخوندی زاده و همکاران (۲۰۱۷) ضربه‌های بهینه توب پ را برای حل انسداد سیلو بررسی کردند [7]. به طور کلی، روشن‌های عددی مبتنی بر شبکه مانند روشن اجزای محدود<sup>۱</sup> بعضا مشکلاتی در برخورد با پدیده‌های پیچیده با تغییر شکل‌های بزرگ و نایپوستگی سطح آزاد دارند، تکنیک‌های عددی مشهور برای ردیابی سطح آزاد جریان، مانند روشن مارکر و سل<sup>۲</sup> و روشن حجم سیال<sup>۳</sup>، روشن‌های مبتنی بر شبکه را قادر به شبیه‌سازی سطح آزاد می‌سازند [8]. با این حال، مشکل اصلی در استفاده از چنین روشن‌هایی در نقاط تغییر‌شکل‌های ناگهانی و یا نقاط پراکنده است [9]. همچنین، به علت ترم جابه‌جایی در معادلات، این روشن‌ها با مشکل انتشار عددی روبرو هستند [10]. در سال‌های اخیر، نسل جدیدی از روشن‌های عددی، به نام روشن‌های ذرات بدون شبکه (لاگرانژی) برای حل مسائل دینامیک سیالات محاسباتی<sup>۴</sup> توسعه یافته‌اند. با توجه به ماهیت روشن‌های لاگرانژی بدون شبکه، این روشن‌ها می‌توانند تغییر شکل‌های بزرگ را کنترل کنند. روشن نیمه‌ضمنی ذرات متحرک<sup>۵</sup> (MPS) یک مدل کاملا لاگرانژی است که در ابتدا برای مسائل مکانیک سیالات توسعه یافته است. گتو و ساکایی (۱۹۹۹) شکست امواج روی هندسه‌های مختلف بستر دریا را شبیه‌سازی نمودند. مدل سازی آنها روی شبیه سازی نفوذ، شبیه سازی نفوذ، شبیه سازی نفوذ یکنواخت نفوذ پذیر و یک دیواره عمودی غیرقابل نفوذ، شبیه سازی نفوذ یکنواخت نفوذ پذیر و یک دیواره عمودی با پله‌های کوچک صورت گرفت و نتایج مطلوبی به دست

## <sup>1</sup>. Finite Element Method

## 2. Marker and Cell

## 2. Marker and Cell 3. Volume of Fluid

## 4 . Computational Fluid Dynamic

## 5. Moving Particle Semi-implicit

لازم به ذکر است که در شکل لاغرانژی در معادله جرم و مومنتوم ترم شتاب جابه‌جایی وجود ندارد و حرکت ذرات به سادگی با رابطه  $D\mathbf{r}/Dt = \mathbf{u}$  محاسبه می‌شود. با در نظر گرفتن سیستم چند فازی هوا و دانه‌ها به عنوان یک سیستم چند ویسکووزیته و چند چگالی، معادلات حاکم برای هر دو فاز بدون اعمال نیروهای اضافی معتبر هستند [20].

### ۳- روش MPS

از آنجایی که معادلات حاکم بر جریان در شکل کلی آن راه حل تحلیلی ندارند، بنابراین این معادلات منقطع شده و سپس با روش‌های اویلری یا لاغرانژی حل می‌شوند. در روش‌های لاغرانژی برخلاف روش اویلری، به جای شبکه‌بندی میدان حل و منقطع‌سازی معادلات روی گره‌ها، میدان حل به تعدادی ذره تقسیم می‌شود و معادلات منقطع شده روی این ذرات حل می‌شوند. در واقع معادلات حاکم با استفاده از عملگرهای مختلف به معادلات برهمکنش ذرات تبدیل می‌شوند. در این بین ذراتی که به ذره مورد مطالعه نزدیکتر هستند، تاثیر بیشتری روی آن ذره خواهند داشت. به گونه‌ای که می‌توان تأثیر ذرات نسبتاً دور را در مقایسه با ذرات نزدیک نادیده گرفت و برهمکنش بین ذرات را به حوزه خاصی به نام شعاع تأثیر محدود کرد. اثر هر ذره بر ذره محاسبه شده با تابع وزنی اندازه‌گیری می‌شود. وزن ذرات همسایه در شعاع تأثیر یک ذره خاص توسط تابع تابع کرنل انجام می‌شود. شکل (۱) موقعیت ذره مورد نظر در میدان حل و اندرکنش با ذرات همسایه را نشان می‌دهد. تابع کرنل برای درونیابی کمیت‌های فیزیکی در اطراف هر ذره استفاده می‌شود.

شکل ۱. موقعیت ذره مورد نظر در میدان حل و اندرکنش با ذرات همسایه

جریان‌های چند فازی جامد-مایع گسترش دادند [20]. جعفری ندوشن و همکاران (۲۰۱۶) یک روش لاغرانژی بدون شبکه مبتنی بر فرمولاسیون نیمه ضمیمه ذرات متحرک ضعیف تراکم پذیر توسعه دادند و آن را برای شبیه‌سازی جریان بر روی سریزها تحلیل بکار برdenد [21]. جعفری ندوشن و همکاران (۲۰۱۸) و تاج نسایی و همکاران (۲۰۱۸) یک مدل WC-MPS چند فازی را برای جریان‌های رسوب محور توسعه دادند و به طور کامل رفتار رسوب را توصیف کردن [22 و 23]. جعفری ندوشن و شکیایی نیا (۲۰۱۹) از مدل چند فازی بدون شبکه برای مدل‌سازی آبشتیگی موضعی با رئولوژی (I) استفاده کردن [24]. پژوهش حاضر با هدف توسعه یک مدل بدون شبکه بر اساس WC-MPS برای شبیه‌سازی تخلیه مواد دانه از داخل سیلو انجام شده است. برای پیش‌بینی رفتار غیر نیوتونی فاز دانه‌ای، از مدل رئولوژیکی هرشل بالکی (H-B) استفاده شده است که با استفاده از مدل توانی توسعه داده شده است. و معیار تسلیم مور-کلمب با فشار مؤثر دینامیکی برای محاسبه تنش تسلیم استفاده شده است، مدل مورد نظر برای پروفایل‌های سطح آزاد و پروفیل‌های سرعت اعتبارسنجی و ارزیابی شده است. مقایسه نتایج با اندازه‌گیری‌های تجربی موجود و روش المان مجزا<sup>7</sup> قابلیت‌های مدل پیشنهادی را در پیش‌بینی دقیق این مسئله نشان داد.

### ۲- معادلات جریان

معادلات حاکم بر جریان سیال شامل بقاعی جرم و مومنتوم در مختصات لاغرانژی به شرح زیر است:

$$\begin{cases} \frac{D\rho}{Dt} + \rho \nabla \cdot \mathbf{u} = 0 & \text{Mass conservation} \\ \rho \frac{D\mathbf{u}}{Dt} = -\nabla p + \nabla \cdot \boldsymbol{\tau} + \mathbf{f} & \text{Momentum conservation} \\ p = f(\rho) & \text{Equation of state} \\ \frac{D\mathbf{r}}{Dt} = \mathbf{u} & \text{Lagrangian Motion} \end{cases} \quad (1)$$

در روابط فوق،  $\mathbf{u}$  بردار سرعت،  $t$  زمان،  $p$  چگالی سیال،  $\boldsymbol{\tau}$  فشار، و  $\mathbf{f}$  نشان‌دهنده نیروهای جسم (به عنوان نمونه،  $\mathbf{g}$ )،  $\mathbf{r}$  بردار موقعیت و  $\boldsymbol{\tau}$  تانسور تنش برشی است.

به طور مشابه، دیورژانس بردار دلخواه  $\mathbf{u}$  به صورت زیر ارائه شده است [18]:

$$\langle \nabla \cdot \mathbf{u} \rangle_i = \frac{d}{n_0} \sum_{i \neq j} \left[ \frac{\mathbf{u}_i - \mathbf{u}_j \cdot \mathbf{r}_j - \mathbf{r}_i}{r_{ij}} W(r_{ij}, r_e) \right] \quad (6)$$

که در آن  $d$  بعد فضای حل،  $n_0$  مقدار متوسط چگالی عددی ذرات اولیه و  $r_e$  بردار موقعیت می‌باشد. فرمول لاپلاس به وسیله متوسط وزنی مقادیر فیزیکی توزیع شده از ذره  $i$  به ذرات مجاور خود محاسبه می‌شود. بر این اساس، اپراتور لاپلاسین به صورت رابطه ۱۱ تعریف می‌شود [18].

$$\langle \nabla^2 \mathbf{u} \rangle_i = \frac{2d}{\lambda n_0} \sum_{i,j} [(\mathbf{u}_i - \mathbf{u}_j) W(r_{ij}, r_e)] \quad (7)$$

که در آن  $\lambda$  پارامتر معرف برای حفظ تساوی افزایش واریانس با راه حل تحلیلی است. این پارامتر به صورت رابطه (۸) تعریف می‌شود [19]:

$$\lambda = \frac{\int W(r, r_e) r^2 dv}{\int W(r, r_e) dv} \approx \frac{\sum_{j \neq i} r_{ij}^2 W(r_{ij}, r_e)}{\sum_{j \neq i} W(r_{ij}, r_e)} \approx \langle r_{ij}^2 \rangle \quad (8)$$

### ۳-۲-محاسبه فشار

در روش WC-MPS سیستم به عنوان سیستمی با تراکم‌پذیری ضعیف در نظر گرفته می‌شود و فشار هر ذره را با استفاده از معادله حالت محاسبه می‌کند. در این تحقیق از معادله حالت تایت استفاده شده است که برای جریان آب با فشار بالا استفاده می‌شود و به صورت معادله ۹ بیان می‌شود [18]:

$$P_i = \frac{\rho c_0^2}{\gamma} \left[ \left( \frac{\langle \rho \rangle_i}{\rho_0} \right)^{\gamma} - 1 \right] = \frac{\rho c_0^2}{\gamma} \left[ \left( \frac{\langle n \rangle_i}{n_0} \right)^{\gamma} - 1 \right] \quad (9)$$

که در آن معمولاً  $\gamma = 7$ ،  $k$  مدول حجمی مایع و  $c_0$  سرعت مصنوعی صوت و  $n_i$  چگالی عددی ذره در مرحله پیش‌بینی است.

از آنجا که استفاده از سرعت صوت واقعی برای سیال، متوجه به گام زمانی بسیار کوچک می‌رسد، معمولاً از سرعت صوت مصنوعی با مقداری کوچکتر استفاده می‌شود. برای حفظ تغییرات چگالی مایع ( $\Delta \rho / \rho$ ) کمتر از ۰.۱٪ چگالی مرجع، سرعت صوت باید بیش از ۱۰ برابر حداقل سرعت

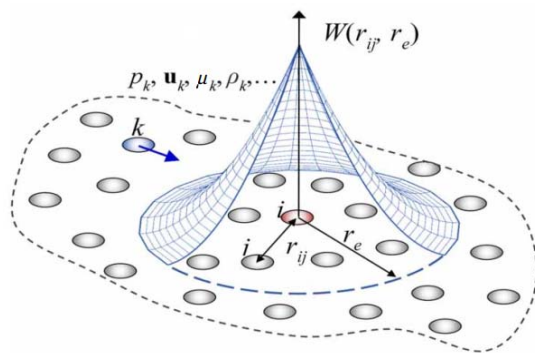


Fig. 1. MPS kernel interpolation conceptual model [24]

پارامتر بادون بعد، چگالی عددی ذرات برای نشان دادن تراکم ذرات در اطراف یک ذره خاص (پارامتر  $n$ ، به صورت معادله ۲ تعریف شده است [18].

$$\langle n \rangle_i = \sum_{j \neq i} W(r_{ij}, r_e) \quad (2)$$

با فرض اینکه همه ذرات دارای جرم مساوی ( $m$ ) هستند، مقدار هموار چگالی سیال برای ذره آ به صورت زیر بدست می‌آید:

$$\langle \rho \rangle_i = \frac{\sum_{ij} M_i W(r_{ij}, r_e)}{\int_{v'} W(r, r_e) dv} = \frac{M}{\int_{v'} W(r, r_e) dv} \langle n \rangle_i = \frac{\rho \langle n \rangle_i}{n_0} \quad (3)$$

در این رابطه،  $n_0$  متوسط چگالی عددی اولیه ذرات،  $\langle \cdot \rangle$  اپراتور تقریب کرنل و مخرج کسر انتگرال ازتابع کرنل در منطقه تعامل است. تابع کرنل که در این مطالعه استفاده شده، تابع چند جمله‌ای ناهمگون در مرتبه سوم است، که توسط شکل‌بایی نیا و جین، (۲۰۱۰) پیشنهاد شده است [18].

$$W(r_{ij}, r_e) = \begin{cases} (1 - r_{ij} / r_e)^3 & 0 \leq (r_{ij} / r_e) < 1 \\ 0 & (r_{ij} / r_e) \geq 1 \end{cases} \quad (4)$$

### ۳-۱-گسسته سازی MPS

همان‌گونه که در معادلات حاکم مشاهده می‌شود، اپراتورهای گرادیان، دیورژانس و لاپلاسین در این معادلات وجود دارد که باید در میدان ذرات گسسته شوند. گرادیان MPS یک کمیت دلخواه  $\phi$  با میانگین وزنی بردارهای گرادیان بین ذره مورد نظر  $i$  و هر یک از ذرات همسایه آن به دست می‌آید [18].

$$\langle \nabla \phi \rangle_i = \frac{d}{n_0} \sum_{i \neq j} \left[ \frac{\phi_j - \phi_i}{r_{ij}} \frac{\mathbf{r}_j - \mathbf{r}_i}{r_{ij}} W(r_{ij}, r_e) \right] \quad (5)$$

که در آن  $\tau$  تانسور تنش،  $E$  نرخ تانسور تغییر شکل و  $\|E\|$  و  $\|\tau\|$  مقادیر نرخ کرنش و تانسور تنش می‌باشند. همچنین  $\mu_0$  و  $N$  به ترتیب شاخص‌های پایداری و رفتار جریان (تابع ویژگی‌هایی از قبیل اندازه دانه و چگالی) هستند. مقادیر  $\mu_0$  و  $N$  معمولاً در آزمایشگاه تعیین می‌شوند. II ثابت دوم تانسور و  $\tau$  تنش تسلیم است که از معیار مور کلمب برای مواد دانه‌ای غیر چسبنده بدست می‌آید. در این رابطه،  $P_{\text{mech}}$  فشار مکانیکی (تنش بین ذرات دانه‌ای)،  $\varphi$  زاویه اصطکاک داخلی و  $C$  چسبندگی است.  $N=1$  رفتارهای خطی پس از تسلیم را نمایش می‌دهند (مانند مدل B-P)، و  $N<1$  برای محاسبه رفتار ماده پس از تسلیم می‌باشد. شکل ایده‌آل مدل‌های B-P/H-B (معادله ۱۰) به صورت توابعی گستته ارائه شده‌اند که در این توابع، زمانی که نرخ برش به سمت صفر میل می‌کند، نرخ کرنش نیز به صفر نزدیک می‌شود،  $\|\tau\| \rightarrow 0$ ;  $\|E\| \rightarrow 0$ . برای اجتناب از تعیین نواحی تسلیم ( $\|\tau\| > \tau_y$ ) و غیر تسلیم ( $\tau_y \leq \|\tau\| < \|\tau\|$ ) در جریان، از معادلات با فرم‌های پیوسته منظم استفاده می‌شود. ساده‌ترین قانون، مدل دو ویسکوز است که در آن مقدار ثابت حدکثر برای ویسکوزیته موثر در نظر گرفته می‌شود.

$$\mu_{\text{eff}} = \begin{cases} \frac{\tau_y}{2\|E\|} + \mu_0(2\|E\|)^{N-1} & \|\tau\| > \tau_y \\ \mu_{\text{max}} & \|\tau\| < \tau_y \end{cases} \quad (12)$$

در این تحقیق یک قانون نمایی بسیار معروف، پیشنهاد شده توسط Zhua et al. (2005) استفاده شده است، که توسط رابطه زیر بیان می‌شود [27].

$$\mu_{\text{eff}} = \frac{\tau_y(1-\exp(-m\|E\|))}{2\|E\|} + \mu_0(\|E\|)^{N-1} \quad (13)$$

که در آن پارامتر  $m$  رشد نمایی تنش را کنترل می‌کند. این معادله برای هر دو ناحیه تسلیم و غیر تسلیم معتبر است. برای تنش‌های زیر تنش تسلیم، که  $\|E\|$  به صفر نزدیک می‌شود، ویسکوزیته مؤثر منظم B-P ( $\beta=1$ ) به یک مقدار بیشینه است. این ویسکوزیته حدکثر تابعی از تنش تسلیم (تنش قائم) است.

سیال ( $|u|_{\text{max}}$ ) باشد از آنجا که از روش صریح استفاده شده است، شرایط پایداری (شرایط CFL) باید ارضا شود [25].

#### ۴- رئولوژی جریان دانه‌ای

سیستم هوا و دانه‌ها چند فازی از جامدات و گاز است که هر دو فاز به صورت پیوسته در نظر گرفته می‌شوند. برای محاسبه ترم ویسکوز در معادله مومنتوم، ویسکوزیته دینامیکی هر ذره (فاز جامد یا گاز) مورد نیاز است. فاز گاز (یعنی هوا) ویسکوزیته مشخص و ثابتی دارد (مستقل از زمان و تنش). با این حال، تعیین ویسکوزیته فاز جامد این است که رفتار فاز دانه را به عنوان یک سیال نیوتونی فرض کنیم. این فرض قادر به شبیه‌سازی دقیق رفتار جریان دانه‌ای نیست [20]. بنابراین، رفتار غیر نیوتونی فاز دانه‌ای باید به گونه‌ای در نظر گرفته شود، که در آن دانه‌ها در تنش‌های زیر تنش تسلیم دارای رفتار یک جسم صلب و بدون تغییر و برای تنش‌های بالاتر از تنش تسلیم، دارای رفتار سیال ویسکوز می‌باشد. مدل‌های پلاستیک بینگهام، و در شکل پیچیده تر، مدل هرشل بالکی می‌توانند رفتار سیالات ویسکوز را توصیف کنند. برای مصالح، ویسکوزیته موثر توسط یک مدل رئولوژیکی که بستگی به مواد مورد مطالعه دارد، تعیین می‌شود. مدل رئولوژیکی این مطالعه مدل تعیین یافته ویسکو-پلاستیک هرشنل-بالکی و بینگهام پلاستیک است که به طور گسترده‌ای برای مدل‌سازی رفتار حرکتی توده دانه‌ای مورد استفاده قرار می‌گیرد در مدل هرشنل-بالکی، تانسور تنش برشی با استفاده از ویسکوزیته موثر وابسته به تنش که توسط توسط پاپاناستاسیو (۱۹۸۷) ارائه شده است، محاسبه می‌شود [26]:

$$\tau = 2\mu_{\text{eff}} E \rightarrow \mu_{\text{eff}} = \begin{cases} \frac{\tau_y}{2\|E\|} + \mu_0(\|E\|)^{N-1} & \|\tau\| > \tau_y \\ \infty & \|\tau\| < \tau_y \end{cases} \quad (10)$$

که

$$\mathbf{E} = \frac{1}{2} \left( \nabla \mathbf{u} + (\nabla \mathbf{u})^T \right) ; \quad \| \mathbf{E} \| = \sqrt{I_E} = \sqrt{\frac{1}{2} \mathbf{E} : \mathbf{E}} ; \quad (11)$$

$$\|\tau\| = \sqrt{I_\tau} = \sqrt{\frac{1}{2} \boldsymbol{\tau} : \boldsymbol{\tau}} ; \quad \tau_y = p_{\text{mech}} \sin \phi$$

بین آنها) یک مقدار بینابین بین ویسکوزیته مؤثر هر کدام می‌باشد. میانگین هارمونیک برای این ویسکوزیته تعامل به صورت  $\frac{2\mu_i\mu_j}{\mu_i+\mu_j}$  توصیه می‌شود [۲۰]. با جایگزینی این ویسکوزیته تعامل در تمام ترم‌ها از جمله گرادیان، ویسکوزیته مؤثر محدود خواهد شد (زمانی  $= 0$   $(\nabla\mu_{ij})$  و دیورژانس تانسور تنش برشی برای ذرات  $i$  برابر است با:

$$\langle \nabla \cdot \tau \rangle_i = \left\langle \mu_{ij} \nabla^2 \mathbf{u}_i \right\rangle = \frac{4d}{\lambda n_0} \sum_{j \neq i} \left( \frac{\mu_i \mu_j}{\mu_i + \mu_j} (\mathbf{u}_j - \mathbf{u}_i) W(r_{ij}) \right) \quad (18)$$

## ۵- شرایط مرزی

### ۱- سطح آزاد

روش MPS از چگالی ذرات برای ردیابی سطح آزاد استفاده می‌کند. از آنجا که هیچ ذره‌ای در خارج از سطح آزاد وجود ندارد، چگالی ذرات در سطح آزاد به شدت کاهش می‌یابد. یک ذره به عنوان یک ذره سطح آزاد شناخته می‌شود که چگالی آن تا حدودی کمتر از چگالی ذرات استاندارد است (شکل ۲). مقدار این حد ممکن است بسته به مسئله از ۸۰٪ تا ۹۹٪ انتخاب شده و با معادله (۱۹) نشان داده شود. بنابراین فشار این ذره روی سطح آزاد در هر مرحله زمانی صفر می‌شود و در روش MPS نیازی به اعمال هیچ شرط اضافی برای سطح آزاد نیست [۱۸].

$$\langle n \rangle_i \leq n^0 \beta \quad (19)$$

شکل ۲. ذرات روی سطح آزاد

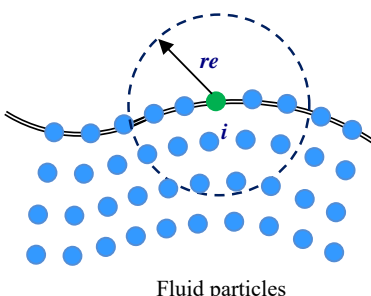


Fig. 2. Particles on the free surface

### ۲- موز جامد

## ۱- پیاده سازی مدل رئولوژیکی

ویسکوزیته موثر،  $\mu_{eff}$  هر ذره برای محاسبه دیورژانس تانسور تنش برشی ( $\tau = 2(\nabla \cdot \tau) E$ ) مورد نیاز است. ویسکوزیته موثر از مدل رئولوژیکی به دست می‌آید، ویسکوزیته موثر برای ذره  $i$  به صورت زیر محاسبه می‌شود [۲۲].

$$(\mu_{eff})_i = \begin{cases} \left( \tau_i \right)_i (1 - \exp(-m \|E\|_i)) \\ \frac{2}{2\|E\|_i} + \mu_0 (\|E\|_i)^{N-1} \end{cases} \quad \begin{array}{l} i \in \text{Solid phase} \\ i \in \text{Gas phase} \end{array} \quad (14)$$

تخمین MPS تانسور نرخ کرنش به صورت زیر ارائه می‌شود:

$$E_i = \begin{bmatrix} \dot{\epsilon}_{xx} & \dot{\epsilon}_{xy} \\ \dot{\epsilon}_{yx} & \dot{\epsilon}_{yy} \end{bmatrix}_i \quad (15)$$

$$\begin{bmatrix} I \\ n_0 \end{bmatrix} \begin{bmatrix} 2 \sum_{j \neq i} \left( \frac{u_j x_{ij}}{r_{ij}^2} W_{ij} \right) & \sum_{j \neq i} \left( \frac{u_j y_{ij} + v_j x_{ij}}{r_{ij}^2} W_{ij} \right) \\ \sum_{j \neq i} \left( \frac{u_j y_{ij} + v_j x_{ij}}{r_{ij}^2} W_{ij} \right) & 2 \sum_{j \neq i} \left( \frac{v_j y_{ij}}{r_{ij}^2} W_{ij} \right) \end{bmatrix}$$

برای محاسبه تنش برشی بحرانی ( $\tau_y$ ) تنش نرمال یا فشار مکانیکی،  $\Phi_{mech}$  بین دانه‌ها مورد نیاز است.

از آنجایی که روش MPS با برخی نوسانات غیرفیزیکی فشار همراه است و چنین نوساناتی (هر چند کوچک) منجر به تولید برخی ارتعاشات غیرفیزیکی شده که می‌تواند آستانه تسلیم و پس از آن را تحت تأثیر قرار دهد. برای اجتناب از این مسئله، در مواردی که در جریان دانه‌ای شتاب قائم ناچیز باشد، استفاده از فشار هیدررواستاتیک را پیشنهاد نموده‌اند [۱۱]. اما زمانی که شتاب عمودی غیر قابل اغماض است، فشار هیدررواستاتیک کاربردی نمی‌باشد. بنابراین در این مطالعه از فشار ترمودینامیکی استفاده می‌کنیم اما آن را به صورت معادله زیر هموار می‌کنیم تا اثر نوسانات احتمالی فشار را به حداقل برسانیم [۲۲].

$$\dot{p}_i = \langle p \rangle_i = \sum_{ij} p_j W(r_{ij}, r_e) \quad (16)$$

## ۲- دیورژانس تنش برشی

تانسور تنش برشی توسط معادله (۱۱) داده شده است. دیورژانس تراکم ناپذیر تانسور تنش برشی برای ذره  $i$  به صورت زیر بدست می‌آید:

$$(\nabla \cdot \tau)_i = \mu_{eff} \nabla^2 \mathbf{u}_i \quad (17)$$

هنگامی که دو ذره  $i$  و  $j$  با ویسکوزیته مؤثر مختلف  $\mu_i$  و  $\mu_j$  در تعامل هستند، ویسکوزیته مؤثر تعامل (ضریب اصطکاک

$$\mathbf{u}_i^* = \mathbf{u}_i' + \frac{\Delta t}{\rho_i} (\mathbf{g} + \mu_{ij} \nabla^2 \mathbf{u}_i' - (1 - \alpha) \nabla p_i) \quad (20)$$

$$u' = -\frac{\alpha \Delta t}{\rho_i} \nabla p_i^{t+1} \quad (20)$$

به طوری که  $\alpha$  یک ضریب بین ۰ و ۱ است. ذرات بر اساس سرعت پیش‌بینی شده و چگالی عدد ذرات ( $n^*$ ) جابه‌جا می‌شوند سپس برای محاسبه فشار از معادله حالت، از  $n^*$  استفاده می‌شود. برای محاسبه سرعت تصحیح شده، عبارت گرادیان فشار مجدداً محاسبه و استفاده می‌شود. الگوریتم حل نهایی که برای هر مرحله زمانی اعمال می‌شود به صورت زیر خلاصه می‌شود:

۱. ویژگی‌های اولیه ذرات  $u_i, \dot{u}_i, \rho_i, \dot{\rho}_i$  را وارد کنید.

۲. یکپارچه سازی زمان

✓ محاسبه ویسکوزیته موثر هر ذره،  $\mu_{eff}$  (برای ذرات فاز جامد از معادله ۱۲ استفاده می‌شود)

✓ پیش‌بینی سرعت  $u_i^*$  با معادله (۲۰). و محاسبه  $n^*$

✓ محاسبه فشار با معادله (۹)

✓ محاسبه سرعت تصحیح شده مطابق با معادله (۲۰). با استفاده از عبارت گرادیان فشار معادله (۹)

✓ محاسبه سرعت، موقعیت ذرات (ذرات متحرک با سرعت خود) و چگالی عددی ذرات

✓ محاسبه کسر حجمی برای غلظت

✓ به روز رسانی سرعت و موقعیت ذرات و اعمال شرایط مرزی

✓ فرستادن نتایج  $(r_i^{k+1}, u_i^{k+1}, \rho_i^{k+1})$  به خروجی . برای آماده سازی گام زمان بعدی (m+1)

۳. تکرار برای مرحله بعدی

شرایط پایداری Courant-Friedrichs-Lowy (CFL) باید

برآورده شود. این شرط به صورت زیر محاسبه می‌شود:

$$\Delta t \leq \frac{C \Delta l}{c_0 + |U|_{max}} \quad (21)$$

به طوری که  $\Delta l$  فاصله بین ذرات (اندازه ذرات) و  $C \leq 0$  عدد کورانت است [25].

## ۷- نتایج و بحث

### ۷-۱- شبیه سازی تخلیه مواد دانه ای از سیلو

برای مرزهای جامد (غیرقابل نفوذ)، مانند دیوارها یا بسترهای، این شرط مرزی اعمال می‌شود. در مجاورت مرزهای جامد، چگالی ذرات کاهش می‌یابد، که می‌تواند منجر به اختلالات محاسباتی شود. بنابراین تعدادی ذرات مجازی در خارج از مرزها قرار می‌گیرند تا این کاهش چگالی جلوگیری کنند. این روش برای اولین بار توسط کوشیزوکا و همکاران (۱۹۹۵) مورد استفاده قرار گرفت [28]. مرزهای جامد به چند ردیف ذرات مجازی در خارج از میدان جریان در نظر گرفته می‌شوند که در فواصلی برابر با شعاع اولیه ذرات دیواره نسبت به چگالی ذرات سیال ثابت باشد (شکل ۳). ضخامت لایه ذرات مجازی به شعاع تاثیر انتخابی در تابع کرnel بستگی دارد. مقدار فشار این ذرات مجازی از ذرات واقع در مرز جامد (ذرات دیوار) برون‌یابی می‌شود. این یک شرایط گرادیان فشار صفر در مرز ایجاد می‌کند و ذرات را از مرزهای جامد خود دفع می‌کند [19].

شکل ۳. ذرات روی مرز جامد و ذرات مجازی

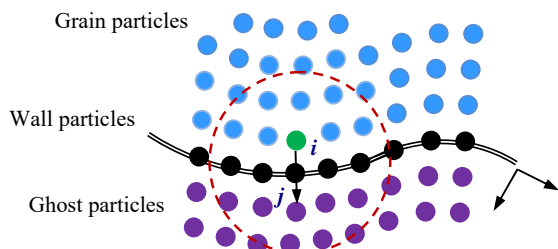


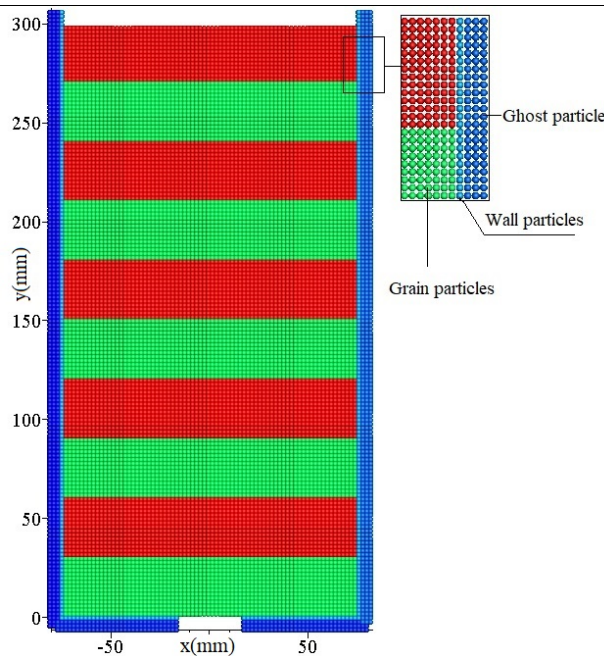
Fig. 3. Particles on the solid boundary and fictitious particles

## ۶- یکپارچه سازی زمان و الگوریتم راه حل

یکپارچه سازی زمانی با استفاده از روش گام جزئی انجام می‌شود که در آن هر مرحله زمانی به دو مرحله پیش‌بینی و تصحیح تقسیم می‌شود. بردار سرعت برای ذره  $i$  در مرحله زمانی جدید  $t+1$  از مجموع سرعت های محاسبه شده در مرحله پیش‌بینی ( $u^*$ ) و سرعت تصحیح شده ( $u'$ ) به دست می‌آید:

$$\mathbf{u}_i^{t+1} = \mathbf{u}_i^* + \mathbf{u}'_i \quad (20 \text{ الف})$$

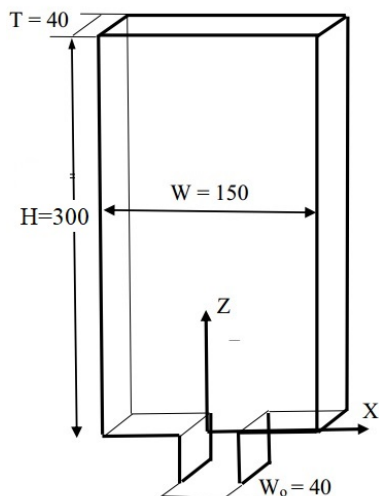
where



**Fig. 5.** Initial position of particles for silo (grain-type ghost-type and wall-type particles)

در این بخش، دقیق مدل رئولوژیکی هرشل-بالکی نمایش (H-B) در شبیه‌سازی الگوهای جریان یک سیلو با کف تخت ارزیابی می‌شود. الگوهای جریان، پروفیل‌های سرعت با داده‌های تجربی و روش DEM مقایسه شده است. سیلوی به عرض ۱۵۰ میلی‌متر با ضخامت ۴۰ میلی‌متر استفاده شد. اندازه خروجی روی ۴ میلی‌متر تنظیم شد. شماتیک سیلو با ابعاد در شکل (۴) نشان داده شده است. همچنین شکل (۵) موقعیت اولیه ذرات سیلو را نشان می‌دهد. در این مدل، فاصله ذرات  $20\text{ mm}$  در نظر گرفته شده که در مجموع ۱۲۵۱۰ ذرات دارای شاخص پایداری  $\mu_0=0.5 \text{ pas}$  و شاخص رفتار جریان  $N=0.4$  می‌باشد. برای محاسبه تنش تسیلیم از فشار مؤثر دینامیک در ترکیب با معیار شکست دراکر-پراگر استفاده شده است. قانون نمایی برای  $m=50$  و شرایط عدم لغزش برای دیوارها و بستر پیاده‌سازی شده است [22]. جدول (۱) خواص مواد را برای مدل استفاده در این مطالعه نشان می‌دهد می‌کند.

شکل ۴. ابعاد سیلو آزمایش (بر حسب میلی‌متر) [۲۹].



**Fig. 4.** Dimensions (in mm) of the test silo [29]

شکل ۵. موقعیت اولیه ذرات برای سیلو (ذرات دانه‌ای، مجازی و دیواره)

## جدول ۱. خواص مواد

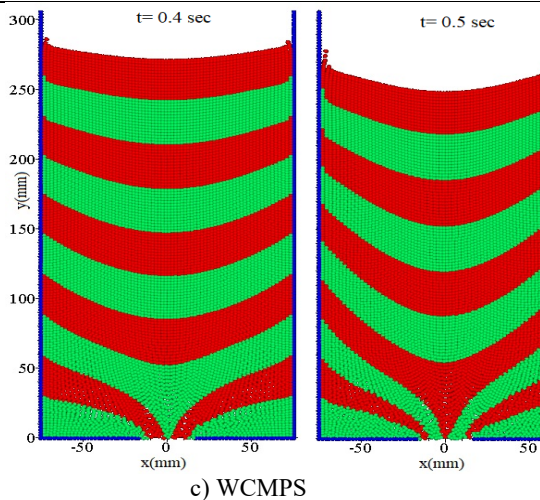
Type of material	Particle diameter (mm)	Density of grain (kg/m <sup>3</sup> )	Friction angle between particles (Rad)	Friction angle between particles and walls (Rad)	Friction angle between particles and bed (Rad)
glass bead	0.002	950	0.35	0.17	0.17

Table 1. Material Properties

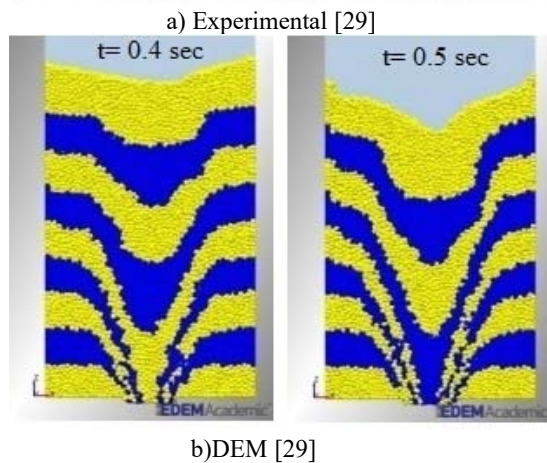
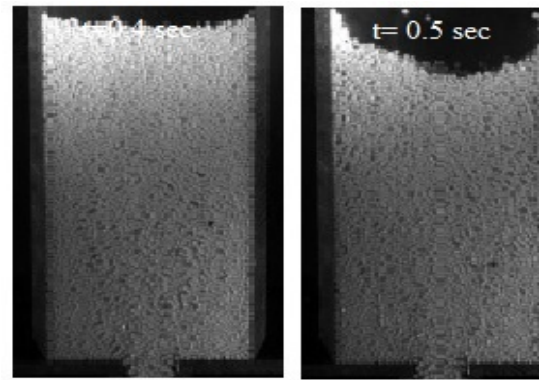
## ۷-۱-۷- پروفیل های سطح آزاد

شبیه سازی به مدت ۱ ثانیه انجام شده است. عکس های فوری عددی و تجربی در شکل (۶) مقایسه شده اند که سازگاری خوبی را در پروفایل سطح آزاد در طول تخلیه نشان می دهد. برای ارائه یک مقایسه کمی، پروفایل های اندازه گیری شده و شبیه سازی شده در شکل (۷) برای زمان های مختلف ترسیم شده است. همانطور که در شکل (۶) نشان داده شده است، مقایسه نتایج مدل توسعه داده شده با نتایج آزمایشگاهی حاکی از دقیقیت نسبتاً خوب مدل مورد نظر در روشن DEM دقت نسبتاً بهتری در پیش بینی پروفایل سطح آزاد دارد.

شکل ۶. مقایسه نتایج سطح آزاد به روشن آزمایشگاهی، روشن DEM و مدل توسعه داده شده هر شل بالکی زمان های ۰/۰، ۰/۵، ۰/۶ و ۰/۷ ثانیه

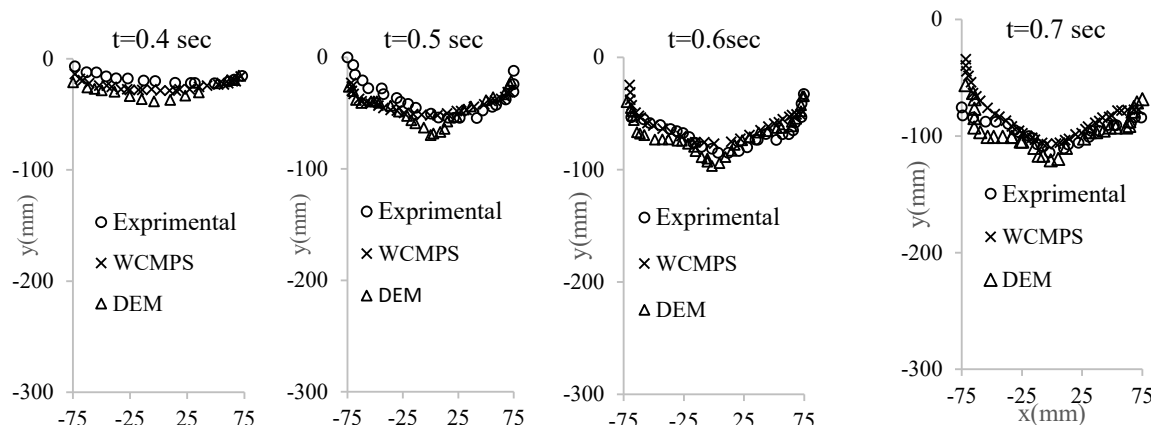


**Fig. 6.** Snapshot of flow patterns at different instants from simulation and experiment.

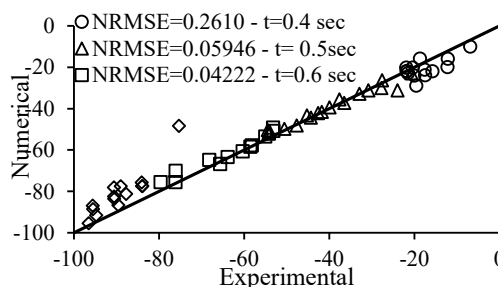


b) DEM [29]

شکل ۷. مقایسه کمی سطح آزاد دانه ها به روش عددی توسعه داده شده هرشل بالکن، مدل DEM و تجربی

Fig. 7. Quantitative comparison of WC-MPS numerical, DEM and experimental surface at  $t=0.4, 0.5, 0.6$  and  $0.7$  seconds

شکل ۸ نمودار پراکندگی پروفیل سطح نتایج WC-MPS با نتایج

آزمایشگاهی در زمان  $0.5$  ثانیه تجربی. پروفیل سطح در زمان  $0.5$  ثانیهFig. 8. Calculating the WC-MPS numerical model error and comparing it with experimental results. Surface profile at  $t=0.5$  sec

**۷-۱-۲- پروفیل سرعت**  
 دقت پروفیل های سرعت عمودی در زمان  $0.5$  ثانیه در دو ارتفاع مختلف  $20$  میلی متر و  $80$  میلی متر در شکل (۹) نشان داده شده است. سرعت های پیش بینی شده هماهنگی خوبی با آزمایش ها در دو ارتفاع مختلف دارند. مقدار این خطای محاسبه شده و نمودار پراکندگی پروفیل سرعت در شکل (۱۰) نشان داده شده است.

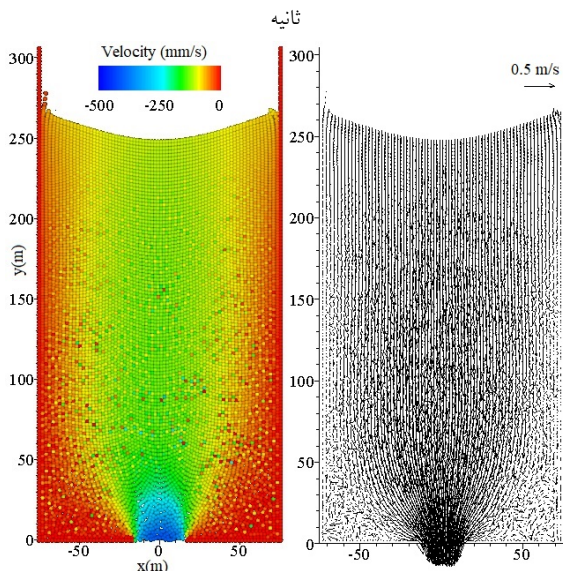
با محاسبه مقدار خطای مدل عددی WC-MPS و مقایسه آن با نتایج تجربی، از میانگین خطای ریشه مربع نرمال شده (NRMSE) مطابق رابطه (۲۲) استفاده شده است. این معیار برای مقایسه مدل های مختلف مناسب خواهد بود. لازم به ذکر است که NRMSE زیر  $10$  درصد نشان دهنده دقت مدل،  $10\text{--}20$  درصد مناسب بودن مدل،  $30\text{--}40$  درصد دقت متوسط و بیش از  $30$  درصد نشان دهنده ضعف مدل است

$$RMSE = \sqrt{\frac{1}{N} \sum_{i=1}^N (x_i - \bar{x}_i)^2} \quad (22)$$

$$NRMSE = \frac{RMSE}{\bar{x}}$$

در این رابطه  $x_i$  مقادیر اندازه گیری شده و  $\bar{x}_i$  پیش بینی شده،  $N$  تعداد داده ها و  $\bar{x}$  میانگین داده های اندازه گیری شده است. مقدار این خطای در  $t=0.4, 0.5, 0.6, 0.7$  ثانیه محاسبه شده است و نمودار پراکندگی پروفیل سطح در شکل (۸) نشان داده شده است. در مجموع متوسط خطای NRMSE برای چهار زمان مورد نظر حدود  $10$  درصد است که این نشان دهنده کارای و دقت مدل موردنظر در این مسئله می باشد.

شکل ۱۱. نمودار شبیه سازی شده، سرعت و بردار سرعت در زمان ۰/۵

**Fig. 11.** Simulated, velocity and vector at  $t=0.5$  sec

شکل (۱۱) نمودار شبیه سازی شده سرعت و بردار سرعت در زمان ۰/۵ ثانیه را نشان می‌دهد.

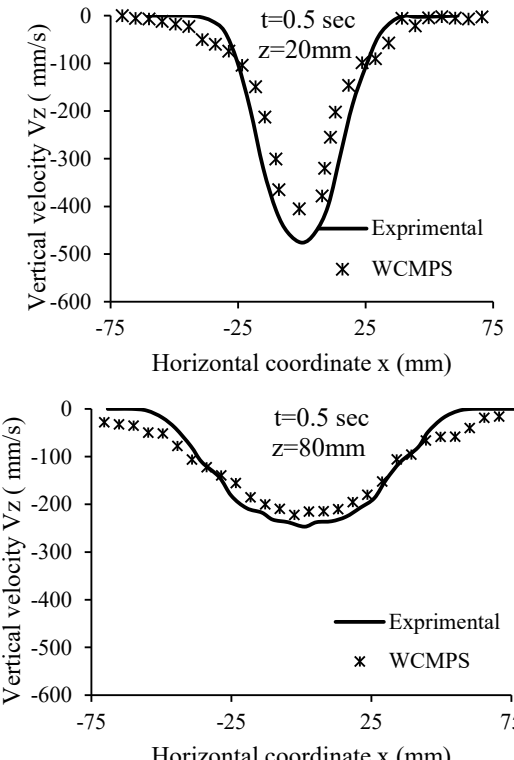
## ۸-نتیجه‌گیری

هدف از این مطالعه، توسعه و ارزیابی مدل لاغرانژی بدون شبکه، نیمه‌ضمونی ذرات متحرک با تراکم ضعیف برای شبیه‌سازی جریان دانه‌ای در داخل سیلو است. در این تحقیق مواد دانه‌ای به عنوان یک سیال ویسکو-پلاستیک غیر نیوتینی در نظر گرفته شد. مدل رئولوژیکی هرشل-بالکی (H-B) نسخه منظم شده نمایی در ترکیب با معیارهای عملکرد موهر-کولمب برای پیش‌بینی رفتار غیر نیوتینی مواد دانه‌ای در تخلیه سیلو استفاده شد. به منظور ارزیابی و اثبات قابلیت روش حاضر، نتایج با اندازه‌گیری‌های تجربی موجود مقایسه شد. مقایسه نتایج با داده‌های تجربی، توانایی مدل پیشنهادی را در پیش‌بینی دقیق پروفیل‌های سرعت عمودی و پروفیل‌های سطحی برای این مسئله نمونه را نشان داد.

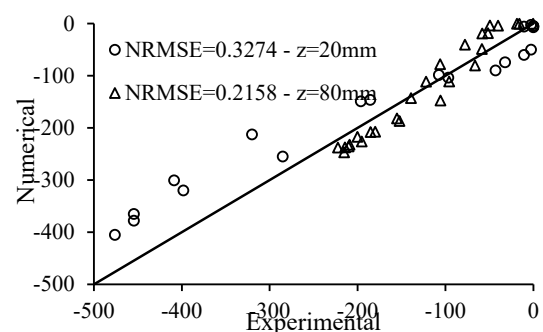
## ۹-منابع

- [1] Medina, A., Cabrera, D., Lopez-Villa, A. and Pliego, M., 2014, Discharge rates of dry granular material from bins with lateral exit holes", Powder Technology, Vol. 253, 270-275.

شکل ۹. مقایسه پروفیل‌های سرعت عمودی پیش‌بینی شده WCMPS با اندازه‌گیری‌های تجربی در ارتفاع ۲۰ و ۸۰ میلی‌متر در زمان ۰/۵ ثانیه

**Fig. 9.** Comparison of WCMPS predicted vertical velocity profiles with experimental measurements at  $Z = 20$  mm and  $Z = 80$  mm at  $t = 0.5$  sec.

شکل ۱۰. نمودار پراکندگی پروفیل سرعت نتایج WC-MPS با نتایج آزمایشگاهی. در زمان ۰/۵ ثانیه

**Fig. 10.** Simulated (WC-MPS) versus experimentally measured velocity values at  $t = 0.5$  sec

- [13] B. Ataei-Ashtiani, L. Farhadi, 2006 A stable moving-particle semi-implicit method for free surface flows, *Fluid Dynamics Research*, Vol. 38, pp. 241-256.
- [14] K. Shibata, S. Koshizuka, 2007 Numerical analysis of shipping water impact on a deck using a particle method, *Ocean Engineering*, Vol. 34, pp. 585-593.
- [15] A. Khayyer, H. Gotoh, 2009 Modified moving particle semi-implicit methods for the prediction of 2D wave impact pressure, *Coastal Engineering Journal*, Vol. 56, pp. 419-440.
- [16] A. Khayyer, H. Gotoh, 2010 A higher order Laplacian model for enhancement and stabilization of pressure calculation by the MPS method, *Applied Ocean Research*, Vol. 32, pp. 124-131.
- [17] M. Kondo, S. Koshizuka, 2011 Improvement of stability in moving particle semi-implicit method, *International Journal of Numerical Methods in Fluids*, Vol. 65, No. 6, pp. 638-654.
- [18] A. Shakibaeinia, Y.C. Jin, 2010. A weakly compressible MPS method for simulation of open-boundary free-surface flow, *International Journal of Numerical Methods in Fluids*, Vol. 63, No. 10, pp. 1208–1232.,
- [19] A. Shakibaeinia, Y.C. Jin, 2011 MPS-based mesh-free particle method for modeling open-channel flows, *Journal of Hydraulic Engineering*, Vol. 137, No. 11, doi:10.1061/(ASCE)HY.1943-7900.0000394.
- [20] A. Shakibaeinia, Y.C. Jin, 2012. MPS mesh-free particle method for multiphase flows, *Computer Methods in Applied Mechanics and Engineering*, Vol. 229–232, pp. 13–26.
- [21] Jafari Nodoushan, E., Hosseini, Kh, Shakibaeinia, A. and Mousavi, S.F. 2016, Meshless particle modelling of free surface flow over spillways. *Journal of Hydroinformatics*, 18(2), 354-370.
- [22] Jafari Nodoushan, E., Shakibaeinia, A. and Hosseini, Kh. 2018, a multiphase meshfree particle method for continuum-based modeling of dry and submerged granular flows. *Powder Technology*, 335, 258-274.
- [23] Tajnesiae, M., Shakibaeinia, A., & Hosseini, K. 2018, Meshfree particle numerical modelling of sub-aerial and submerged landslides. *Computers & Fluids*, 172, 109-121.
- [2] Leturia, M., Benali, M., Lagarde, S., Ronga, I. and Saleh, K., 2014, Characterization of flow properties of cohesive powders: A comparative study of traditional and new testing methods, *Powder Technology*, Vol. 253, 406-423.
- [3] Mankoc, C., Garcimartín, A., Zuriguel, I., Maza, D. and Pugnaloni, L.A., 2009, Role of vibrations in the jamming and unjamming of grains discharging from a silo, *Physical Review E*, Vol. 80, No. 1, 011309.
- [4] Janda, A., Maza, D., Garcimartín, A., Kolb, E., Lanuza, J. and Clément, E., 2009, Unjamming a granular hopper by vibration, *EPL (Europhysics Letters)*, Vol. 87, No. 2, 24002.
- [5] Zuriguel, I., Garcimartín, A., Maza, D., Pugnaloni, L.A. and Pastor, J., 2005, Jamming during the discharge of granular matter from a silo, *Physical Review E*, Vol. 71, No. 5, 051303.
- [6] Akhondizadeh, M. Khalil, V. 2016, Effect of Material Wet on Silo Obstruction Solution by Impact, *International Journal of Engineering (IJE), TRANSACTIONS B: Applications* Vol. 29, No. 11, 1628-1634
- [7] Akhondizadeh, M. Khosrav, M. Khalili, V. 2017, Experimental Determination of the Optimum Ball Impacts for Solution of Silo Obstruction, *International Journal of Engineering (IJE)*,
- [8] C.W. Hirt, B.D. Nichols, 1981. Volume of fluid (VOF) method for the dynamics of free boundaries, *Journal of Computational Physics*, Vol. 39, No. 1, pp. 201–225,
- [9] J. Liu, S. Koshizuka, Y. Oka, 2005 A hybrid particle-mesh method for viscous, incompressible, multiphase flows, *Journal of Computational Physics*, Vol. 202, No. 1, pp. 65– 93.
- [10] S. Koshizuka, A. Nobe, Y. Oka, 1998 Numerical analysis of breaking waves using the moving particle semi-implicit method, *International Journal of Numerical Methods in Fluids*, Vol. 26, No. 7, pp. 751–769.
- [11] H. Gotoh, T. Sakai, 1999 Lagrangian simulation of breaking wave using particle method, *Coastal Engineering Journal*, Vol. 41, No. 3-4, pp. 303–326.
- [12] H. Gotoh, T. Sakai, 2006 Key issues in the particle method for computation of wave breaking, *Coastal Engineering Journal*, Vol. 53, No. 2-3, pp. 171-179.

- [24] Jafari Nodoushan, E and Shakibaeinia, A. 2019, Multiphase mesh-free particle modeling of local sediment scouring with  $\mu(I)$  rheology. *Journal of Hydroinformatics*, 21(2), 279-294.
- [25] Courant, R., Friedrichs, K., and Lewy, H. 1967. "On the partial difference equations of mathematical physics." *IBM J. Res. Dev.*, 11(2), 215–234 (English translation of the 1928 German original)
- [26] Papanastasiou, T.C. 1987, Flows of materials with yield. *Journal of Rheology*, 31, 385-404.
- [27] Zhua, H., Kimb, Y.D and De D. Keea. 2005. "Non-Newtonian fluids with a yield stress, *J. NonNewtonian Fluid Mech.* 129, pp. 177–181.
- [28] Koshizuka, S., Tamako, H., and Oka, Y. 1995. A particle method for incompressible viscous flow with fluid fragmentation. *Computational Fluid Dynamics Journal*, 4(1): 29–46.
- [29] Kasina, V. P. R., 2016, DEM modelling and quantitative validation of flow characteristics and blending of pellets in a planar silo. Thesis, Institute for Infrastructure and Environment School of Engineering University of Edinburgh.

# Modeling of granular flow in a silo using the weakly compressible moving particle semi-implicit method (WCMPs) with the exponential Herschel-Balky rheological model

Ehsan Jafari Nodoushan<sup>1\*</sup>

- Assistant Professor, Department of Civil Engineering, Campus of Bijar, University of Kurdistan, Sanandaj, Iran.

\*ehsan.jafari@uok.ac.ir

## Abstract

Silos are widely used in many industrial and engineering processes, so discharge grain from the silos is considered as one of the most important issues. Due to the high cost of laboratory studies on different materials and conditions, computational methods are used as a substitute approach for much less cost. Because of the ability of nonlinear Lagrangian methods to model large deformations and discontinuities, this study develops and evaluates a mesh-free Lagrangian model based on a weakly-compressible MPS formulation to simulate of the discharge of the granular silo. In Lagrangian methods, unlike the Eulerian method, instead of networking the solution field and breaking the equations on the nodes, the solution field is divided into a number of particles and the broken equations are solved on these particles. In fact, the governing equations are transformed into particle interaction equations using different operators. In the meantime, the particles that are closer to the particle under study will have a greater effect on that particle. In such a way that the effect of relatively distant particles can be ignored in comparison with closer particles and the interaction between particles can be limited to a specific domain called the radius of effect. The effect of each particle on the calculated particle is measured by a weight function. In the WC-MPS method, the system is considered as a system with weak compressibility and calculates the pressure of each particle using the equation of state. The MPS method uses particle density to track the free surface. Because there are no particles outside the free surface, the density of the particles on the free surface decreases severely. A particle is known as a free surface particle whose density is somewhat lower than the standard particle density. The value of this may be selected from 80% to 99% depending on the problem. Therefore, the pressure of this particle on the free surface will be set to zero in each time step and there is no need to apply any additional conditions for the free surface. For solid (impermeable) boundaries, such as walls or beds, In the vicinity of solid boundaries, the particle density decreases, which can lead to computational disturbances. Therefore, a number of ghost particles are located outside the boundaries to prevent this density reduction. The present study aims to develop Lagrangian method based on WC-MPS to simulate the discharge of grain materials from inside the silo. In this method the granular material is considered as a non-Newtonian viscoplastic fluid and an exponentially Herschel-Balky (H-B) rheological model in combination with pressure-dependent yield criteria model is employed to model non-cohesive grain behavior. The ability of the developed numerical method to discharge grain from silos has been evaluated and compared with the experimental results and the DEM method. Comparison of the results of the developed numerical method for the discharge of grains from the silo with the available experimental measurements and the DEM method shows the capabilities of the proposed model to accurately predict the surface and velocity profiles in this sample problem.

**Keywords:** Moving particle semi-implicit method, exponentially Herschel-Balky (H-B) rheology, granular material, silo.